

Fusion et fissuration du béton en cas d'interaction corium-béton

Club Cast3M

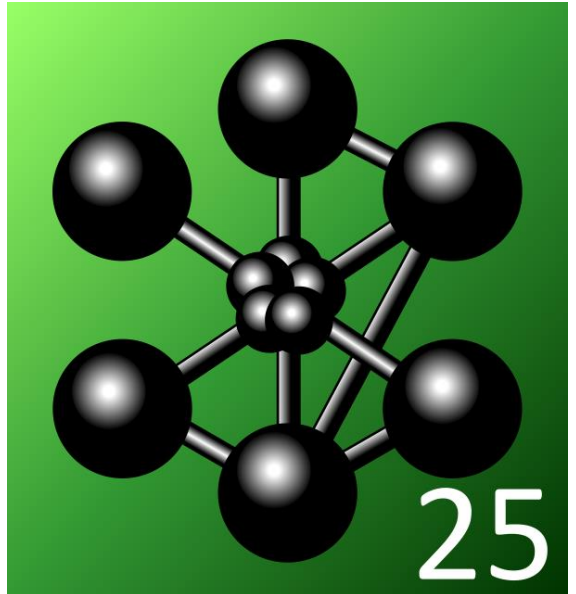
Clément Pionneau¹

Directeurs de thèse : Ludovic Jason¹ et Natalie Seiler²

Encadrant de thèse : Christopher Nahed¹

¹Université Paris-Saclay, CEA, Service d'Étude Mécanique et Thermique, 91191, Gif-sur-Yvette, France

²CEA, DES, IRESNE, Cadarache, F-13108 Saint Paul-Lez-Durance, France

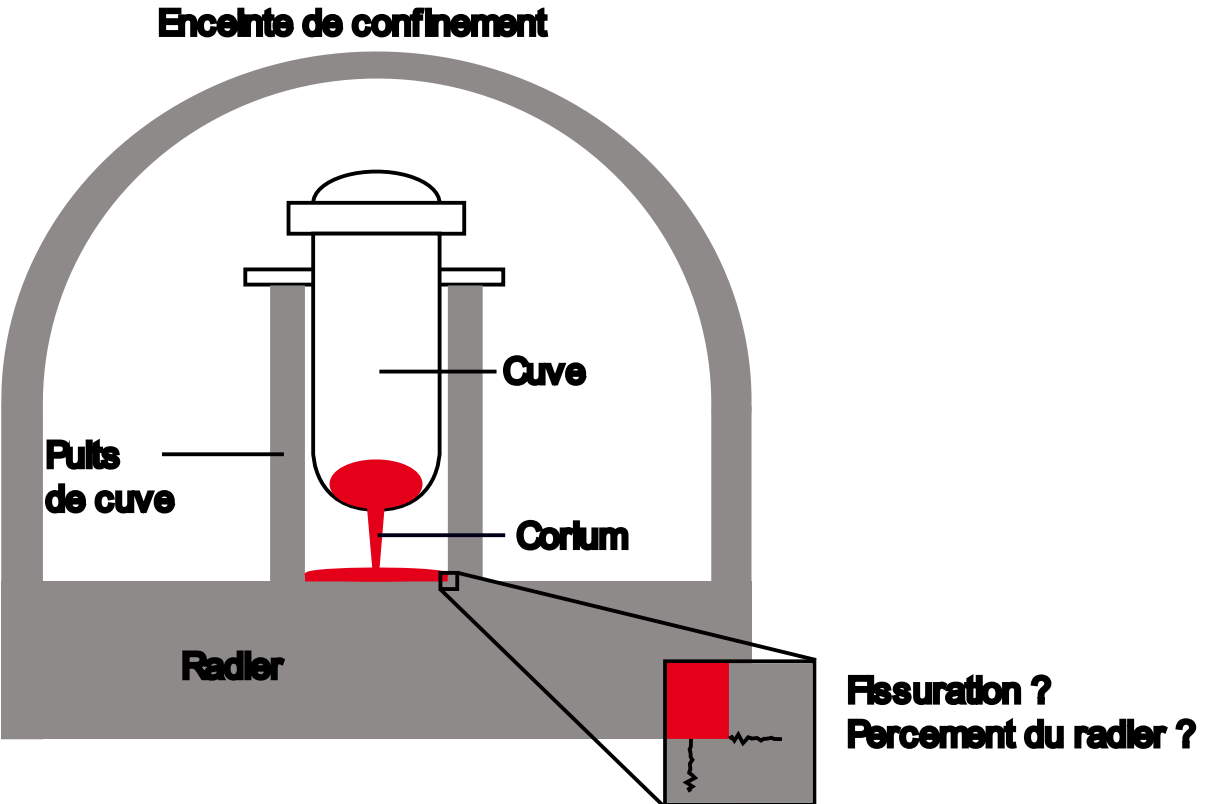


Contexte

- Enceinte de confinement et radier en béton :
 - Ultime barrière en cas d'accident grave

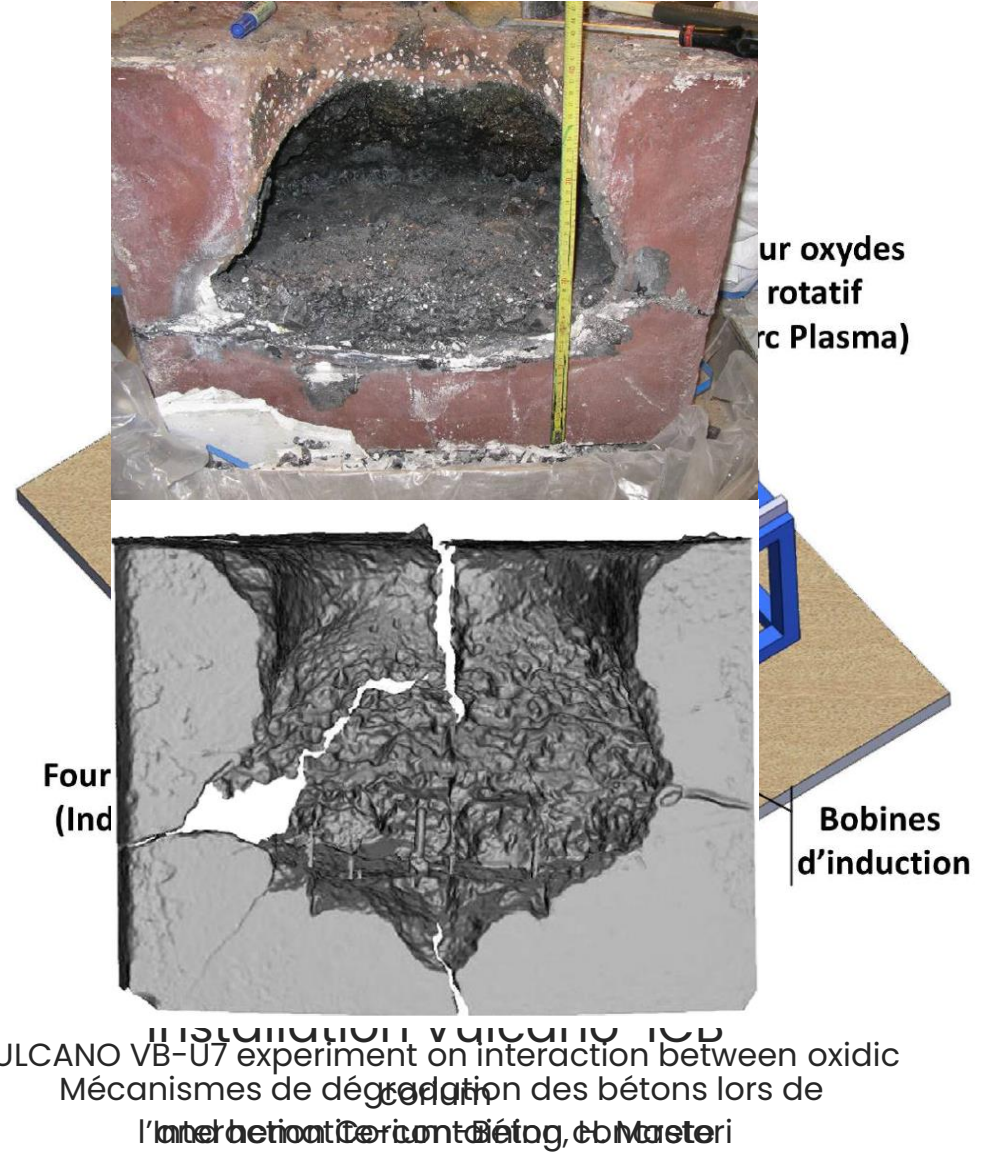
- Interaction corium béton → dégradation du béton :
 - Thermique
 - Chimique
 - Mécanique

- ASNR demande des dispositions afin d'éviter le percement du radier



Contexte

- Collaboration avec le CEA de Cadarache :
 - Plateforme : Vulcano-ICB
 - Expérience petite échelle : VB-U7
 - Corium représenté par un mélange d'oxydes
 - Chauffage par induction
 - Rupture du creuset
- Objectifs :
 - Reproduction numérique de VB-U7
 - Contextualiser avec Fukushima
- Bibliographie :
 - Pas d'étude explicite publiée



Plan

- 1. Méthodologie**
- 2. Mise en place dans Cast3M**
- 3. Résultats**
- 4. Comparaison avec l'expérience**
- 5. Conclusion et perspectives**



1. Méthodologie

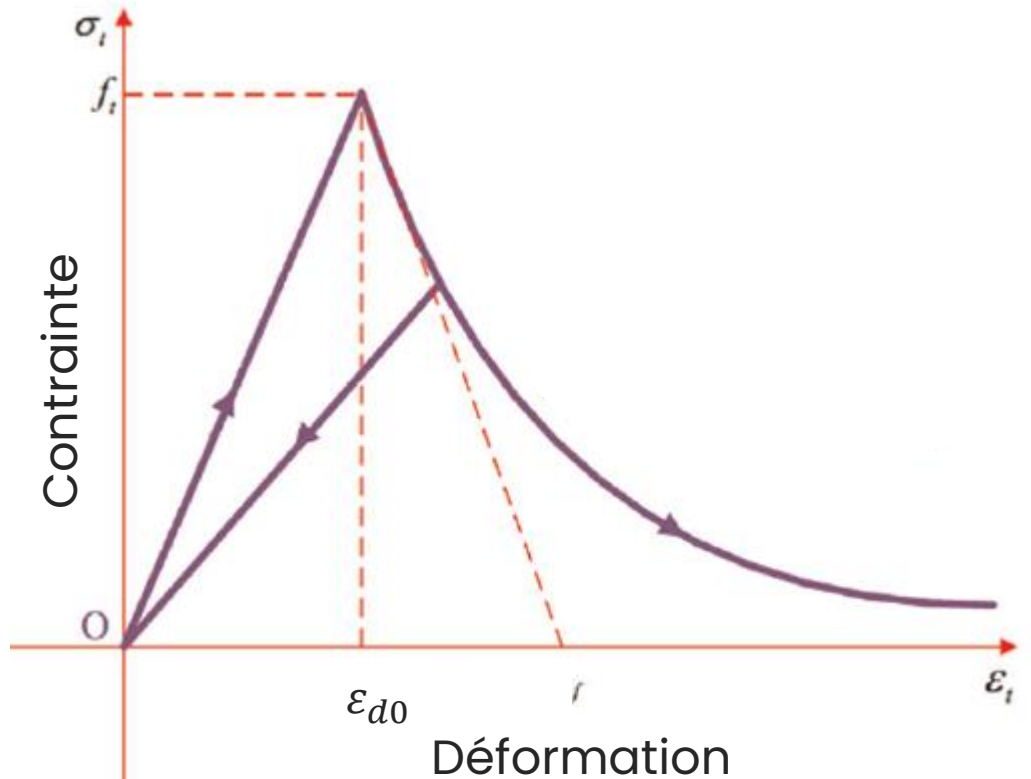
Comportement

- Thermique : équation de la chaleur

$$\rho c_p(T) \frac{\partial T}{\partial t} + \operatorname{div}(-\lambda(T) \cdot \underline{\operatorname{grad}} T) = 0$$

- Mécanique : modèle de Mazars régularisé en traction

- $\underline{\sigma} = (1 - d)\mathbf{C} : \underline{\varepsilon}$, $d \in [0, 1]$
- $d = f \left(\varepsilon_{eq}(t), \max_{\tau < t} \varepsilon_{eq}(\tau) \right)$, t : temps
- $\varepsilon_{eq} = \gamma \sqrt{\sum_{i=1}^3 \langle \varepsilon_i \rangle_+^2}$

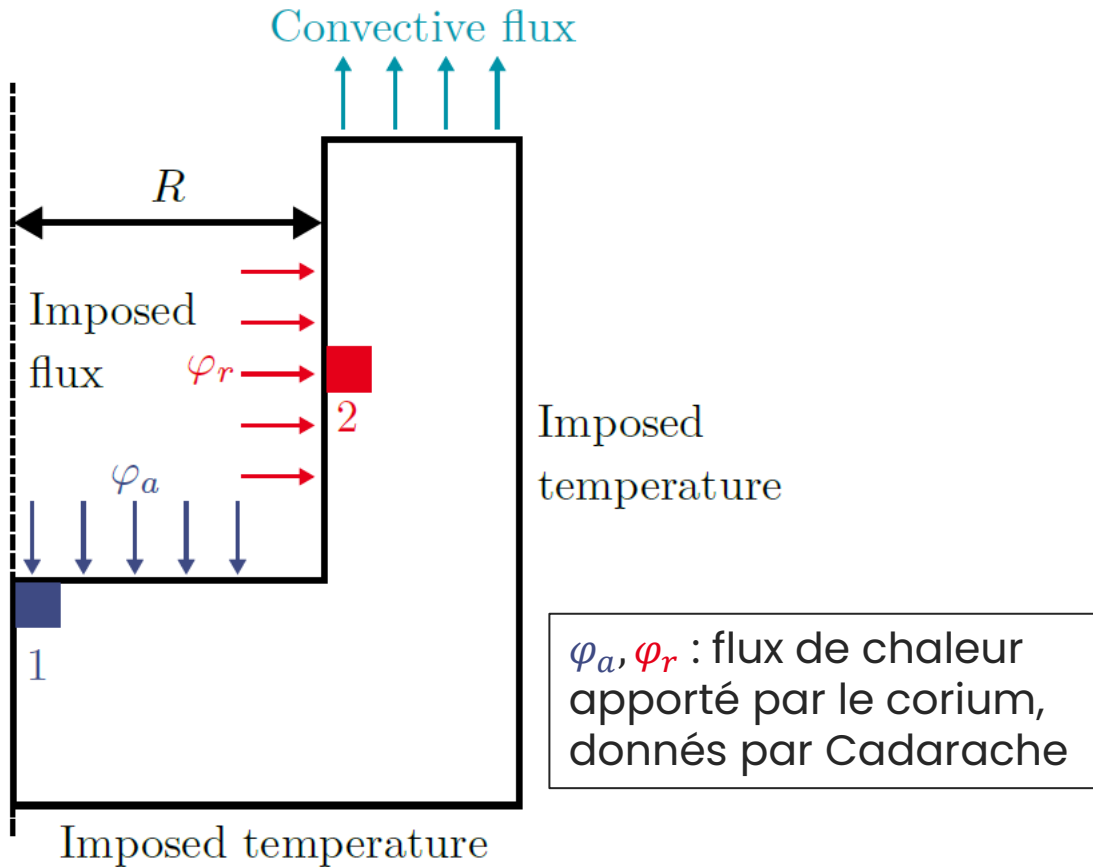


Essai de traction uniaxiale

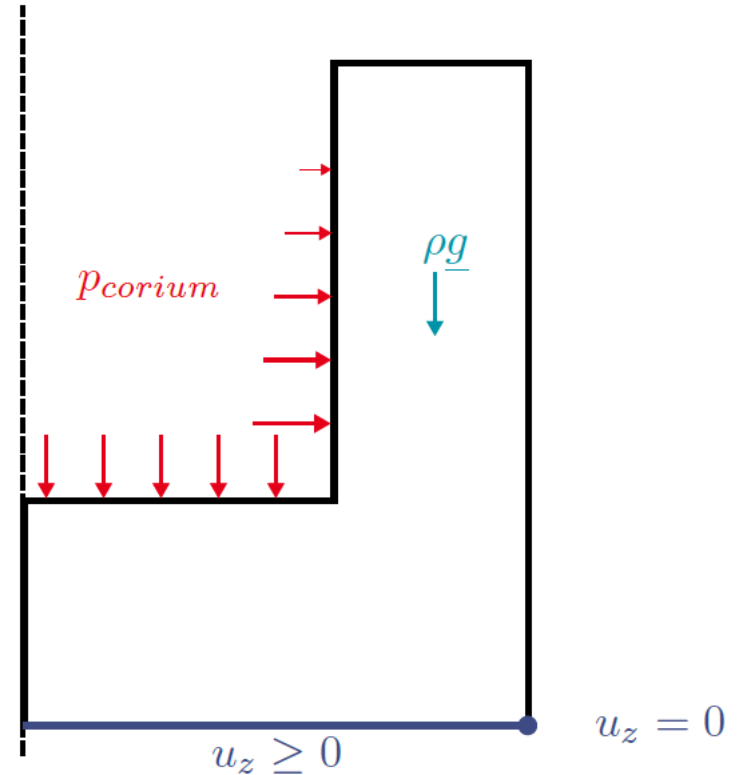
Source : [An effective model for analysis of reinforced concrete members and structures under blast loading](#)

Géométrie, conditions limites et chargement

Modèle thermique



Modèle mécanique

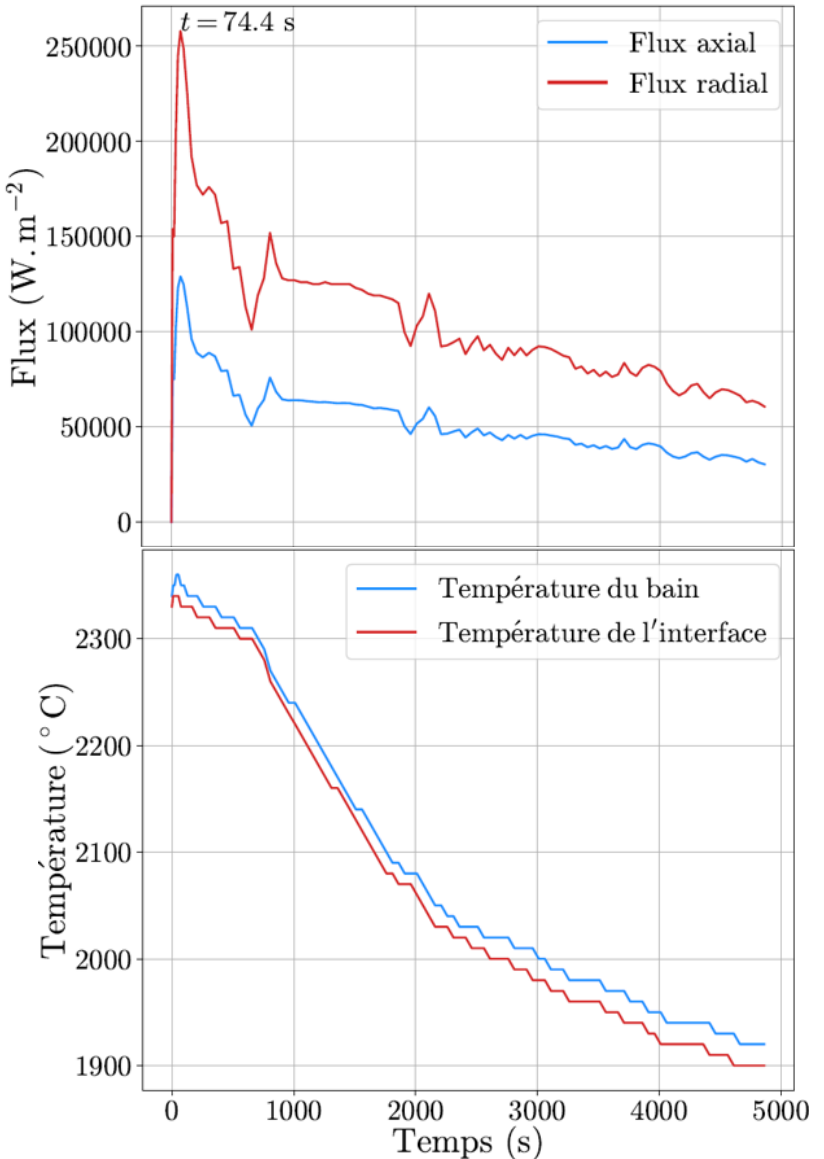


Données

- Propriétés matérielles :
 - $\rho, c_p(T), \lambda(T) \rightarrow$ fournies
 - enthalpie d'ablation $h_{abla} \rightarrow$ fourni
 - Mécanique \rightarrow Eurocode 2 – Calcul du comportement au feu

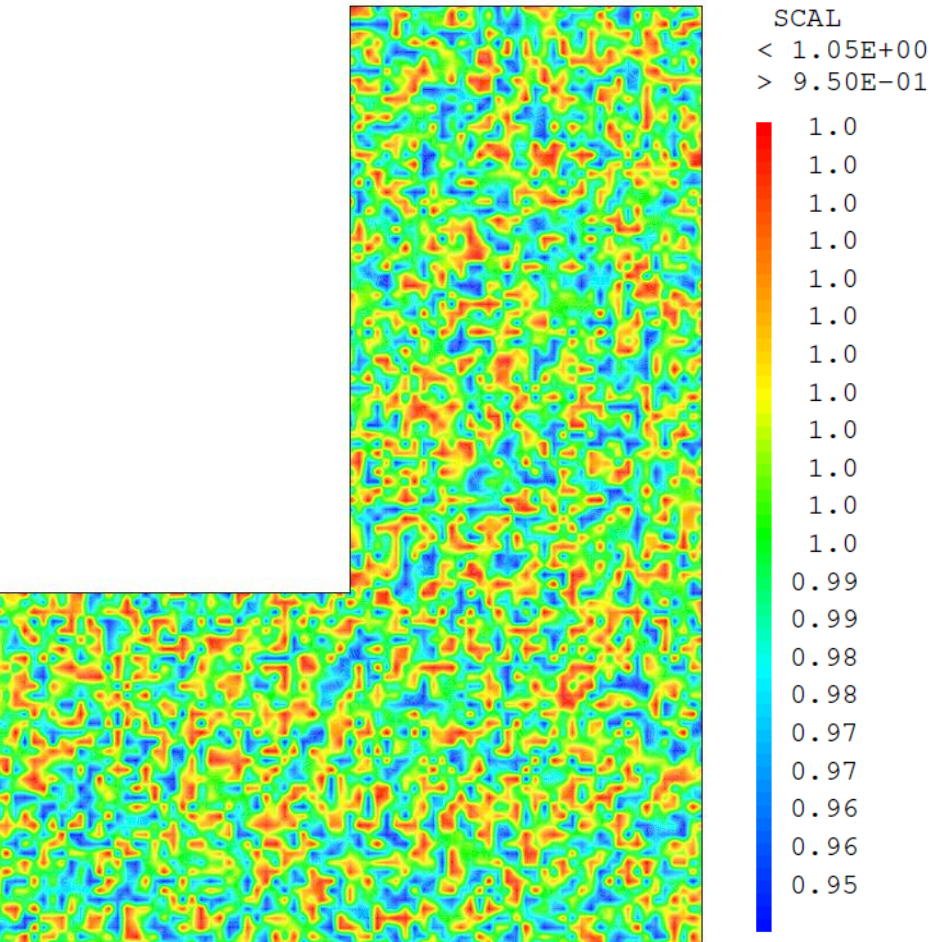
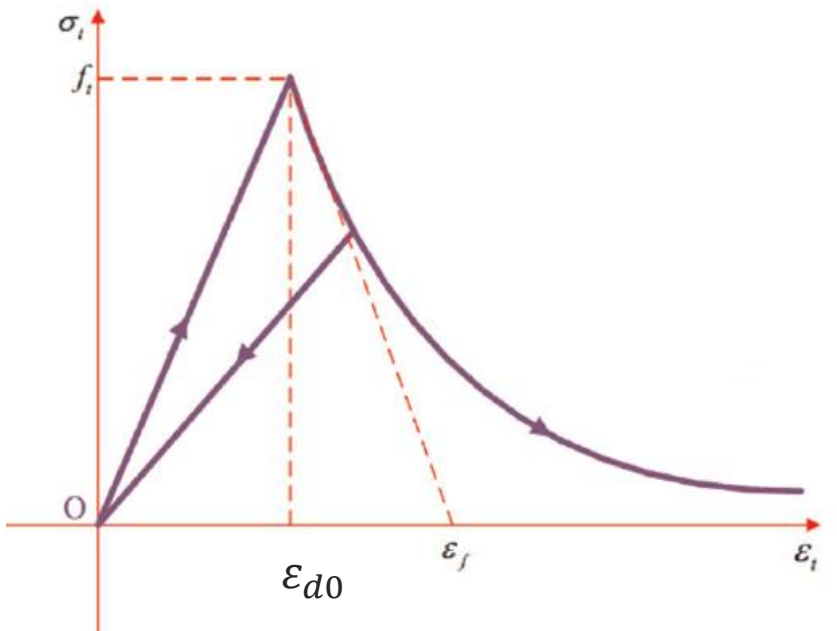
- Répartition des enthalpies de changement d'état / transformation chimique :
 - $c_p^*(T) := c_p(T) + \frac{1}{T_{abla} - T_{ini}} \left(h_{abla} - \int_{T_{ini}}^{T_{abla}} c_p(\theta) d\theta \right)$

- Chargement :
 - Flux à l'interface corium-béton



Hétérogénéité du béton

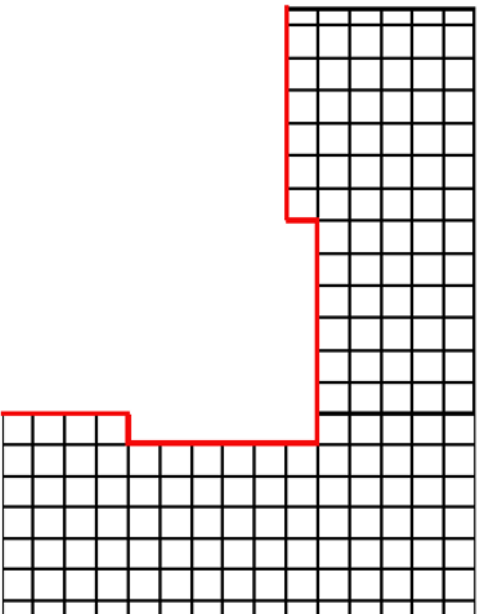
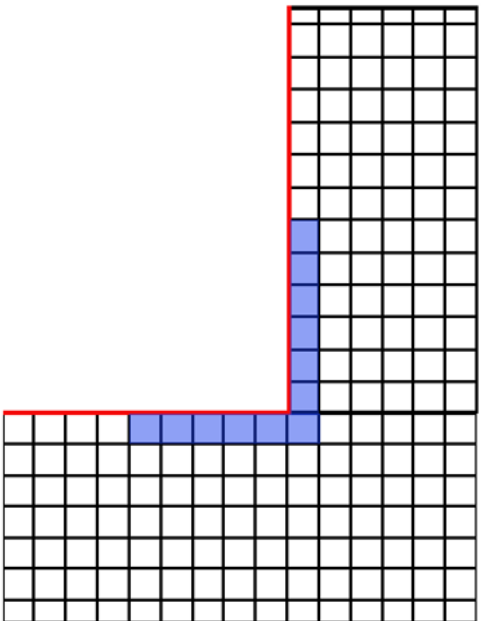
- Objectif : vérification de la convergence du calcul malgré l'hétérogénéité
- Multiplication de ε_{d0} par un champ de bruit blanc non corrélé



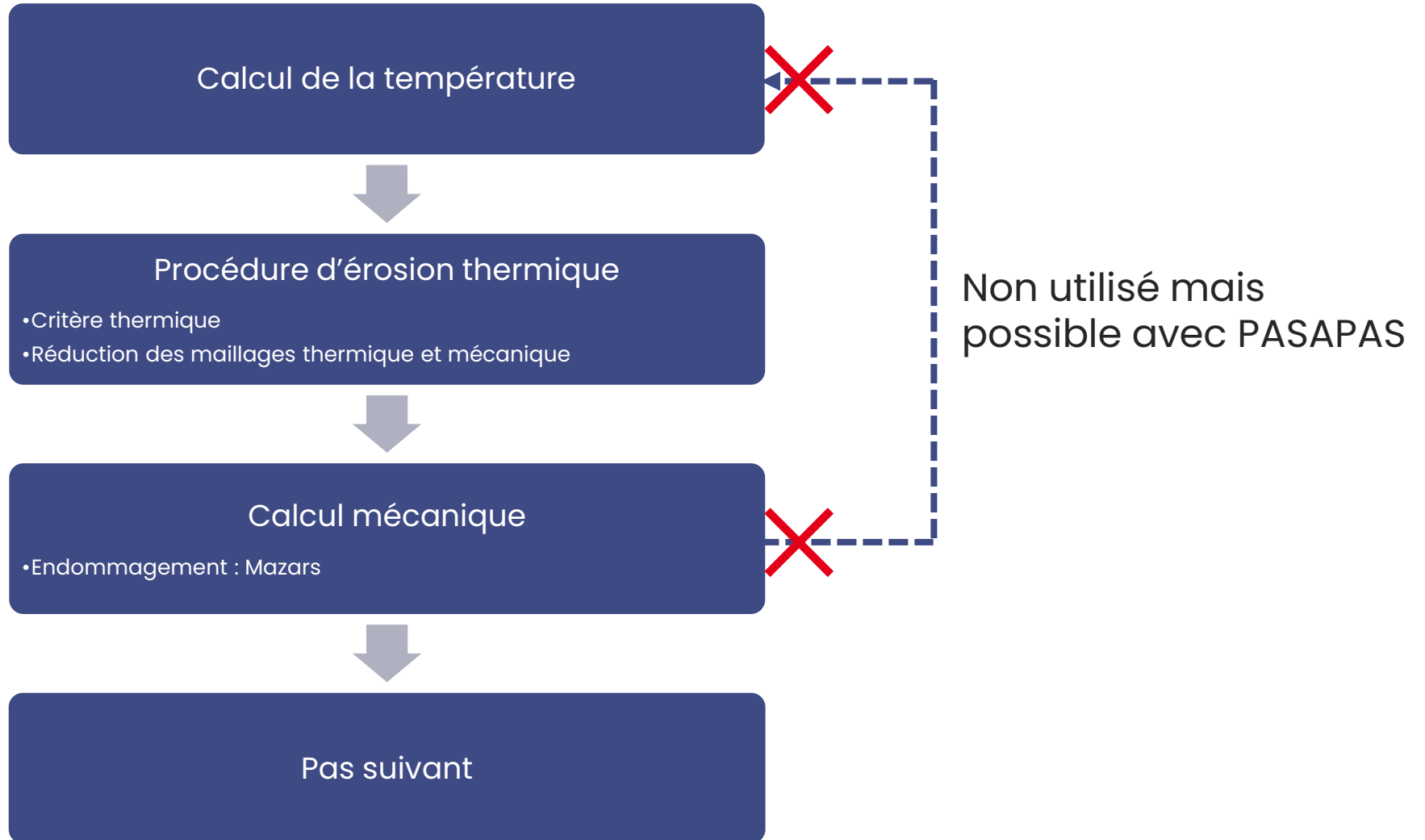
$\varepsilon_{d0} / \varepsilon_{d0,\text{ref}}$

Fusion du béton

- Chargement thermique sévère conduit à l'ablation du béton
- Critère thermique pour retirer le béton ablaté :
 - Enthalpie massique
$$\frac{1}{V} \int_{\text{élément}} \left(\int_{T_{ini}}^{T(x)} c_p^*(\theta) d\theta \right) dV > 2.7 \text{ MJ.kg}^{-1}$$
- Mise-à-jour des conditions limites :
 - Déetecter la nouvelle zone d'ICB
 - Redéfinir les conditions limites



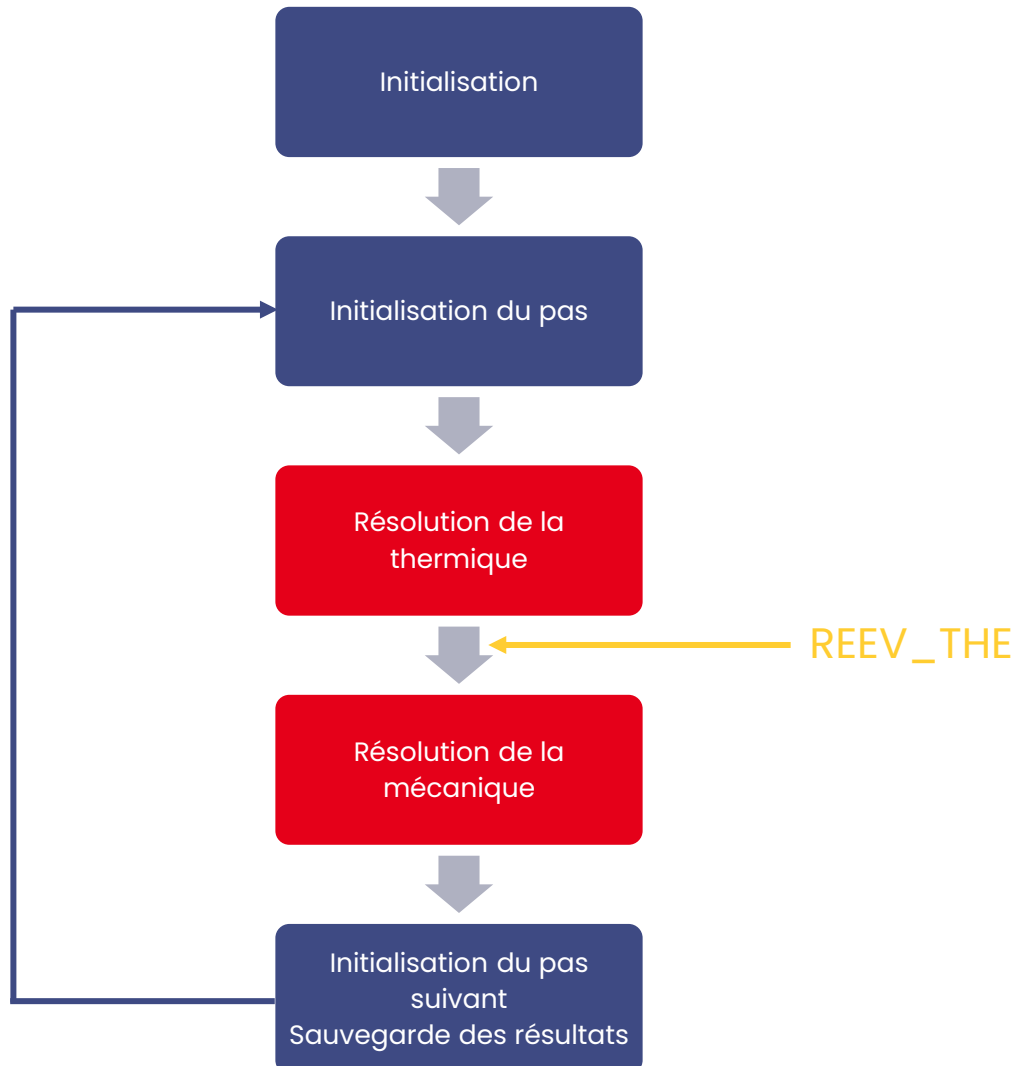
Déroulé d'un pas de temps avec PASAPAS





2. Mise en place dans Cast3M de ce modèle

Implémentation numérique dans la procédure PASAPAS





Calcul des critères d'érosion → REEV_THE

■ Enthalpie massique :

- $\frac{1}{V} \int_{élément} \left(\int_{T_{ini}}^{T(\underline{x})} c_p^*(\theta) d\theta \right) dV > 2.7 \text{ MJ.kg}^{-1}$
- $\int_{T_{ini}}^T c_p^*(\theta) d\theta$: INTG 'BORN', EVOL
- $T(\underline{x}) \rightarrow \int_{T_{ini}}^{T(\underline{x})} c_p^*(\theta) d\theta$: VARI
- INTG 'ELEM', CHAN, MANU

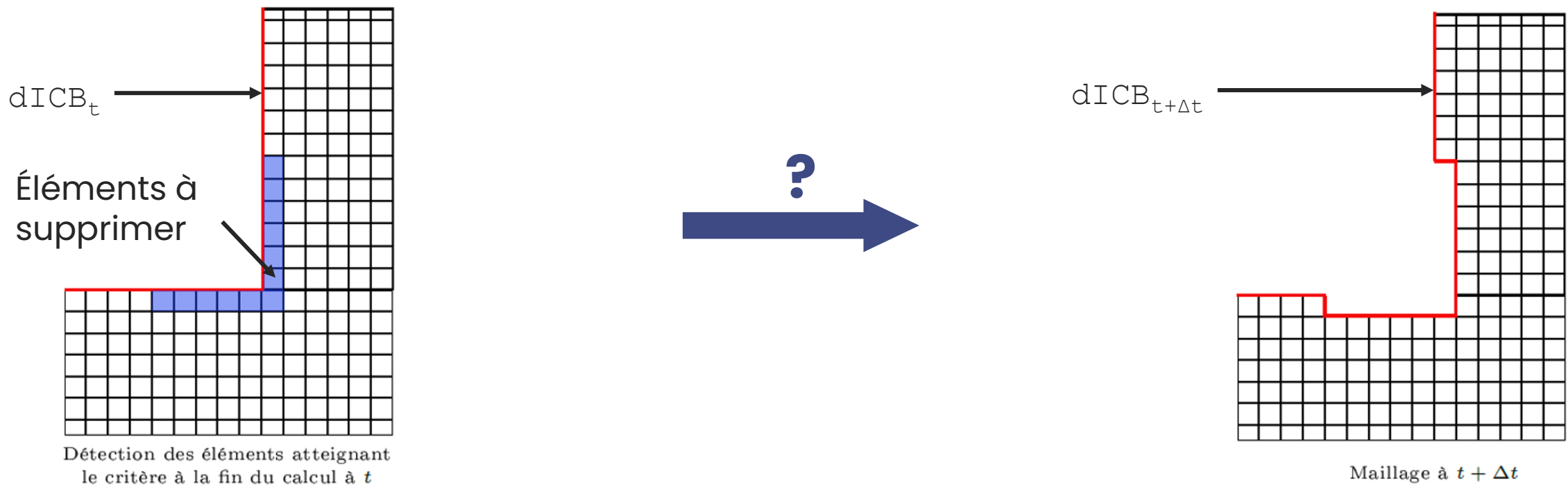
■ Nouveau maillage :

- Champ_enthalpie_massique ELEM 'INFERIEUR' 2.7E6;

■ Réduction des modèles thermique et mécanique :

- REDU Ancien_modele Nouveau_maillage;

Mise à jour des conditions limites → REEV_THE

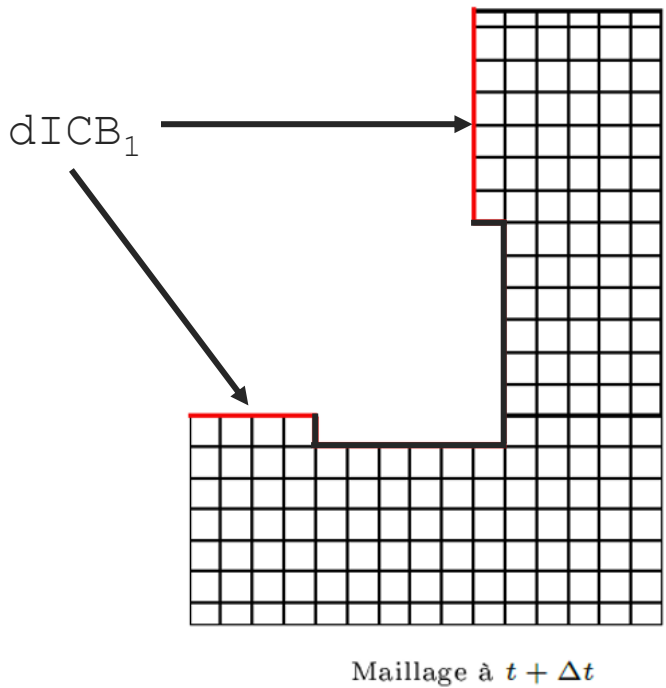


Mise à jour des conditions limites → REEV_THE

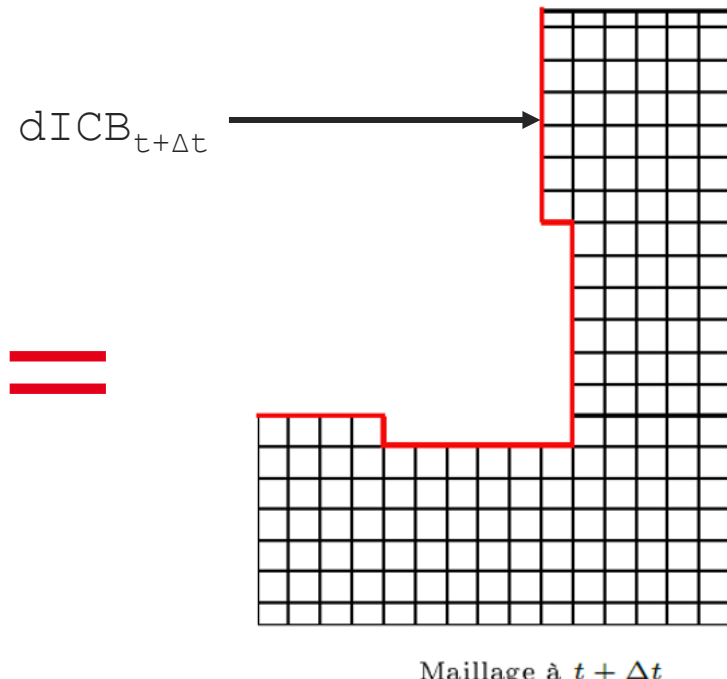
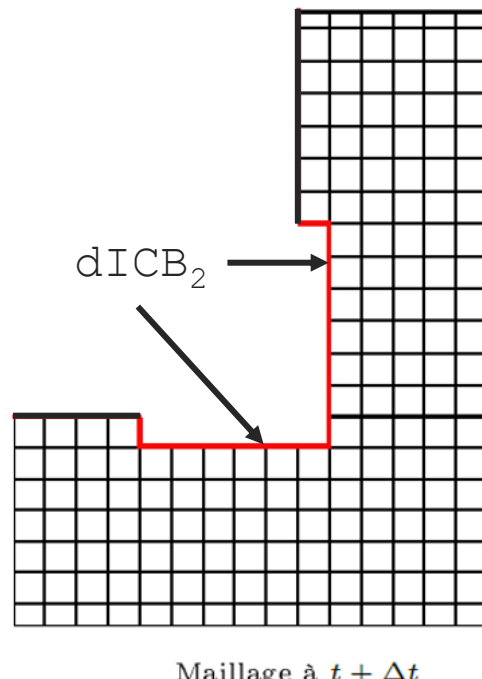
`dICB1 = dICBt INTE dOmegat+Δt;`

`dICB2 = dElem_suppr INTE dOmegat+Δt;`

`dICBt+Δt = dICB1 ET dICB2;`



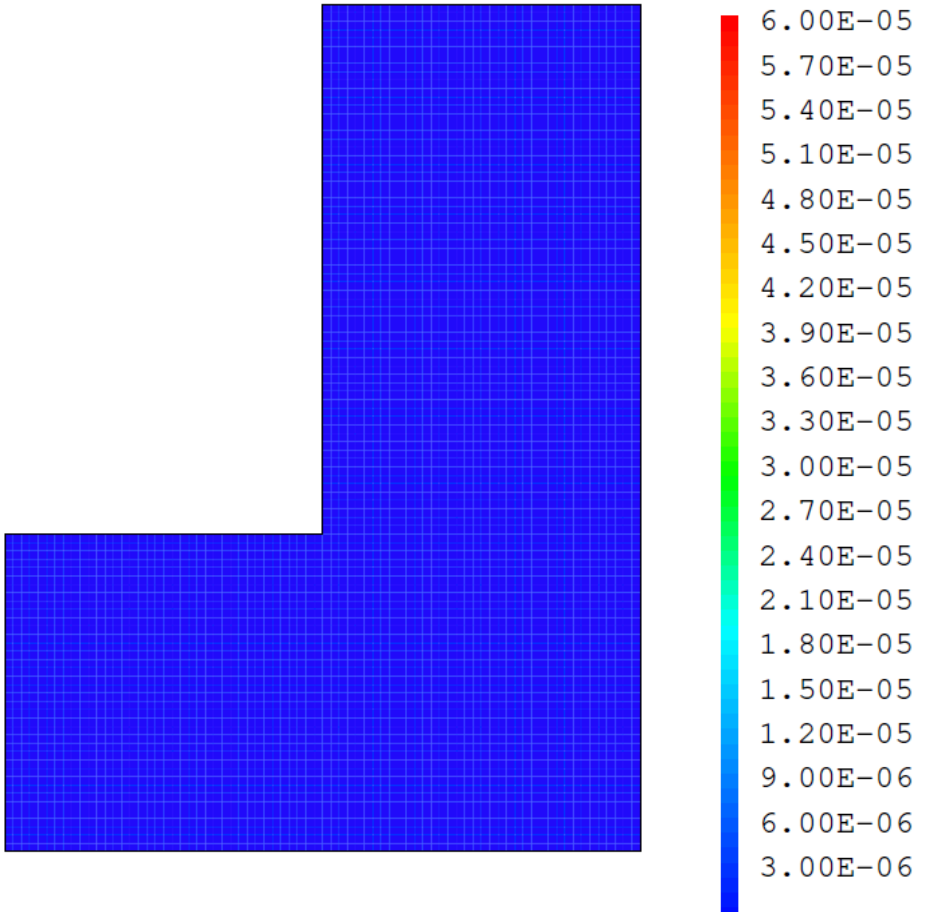
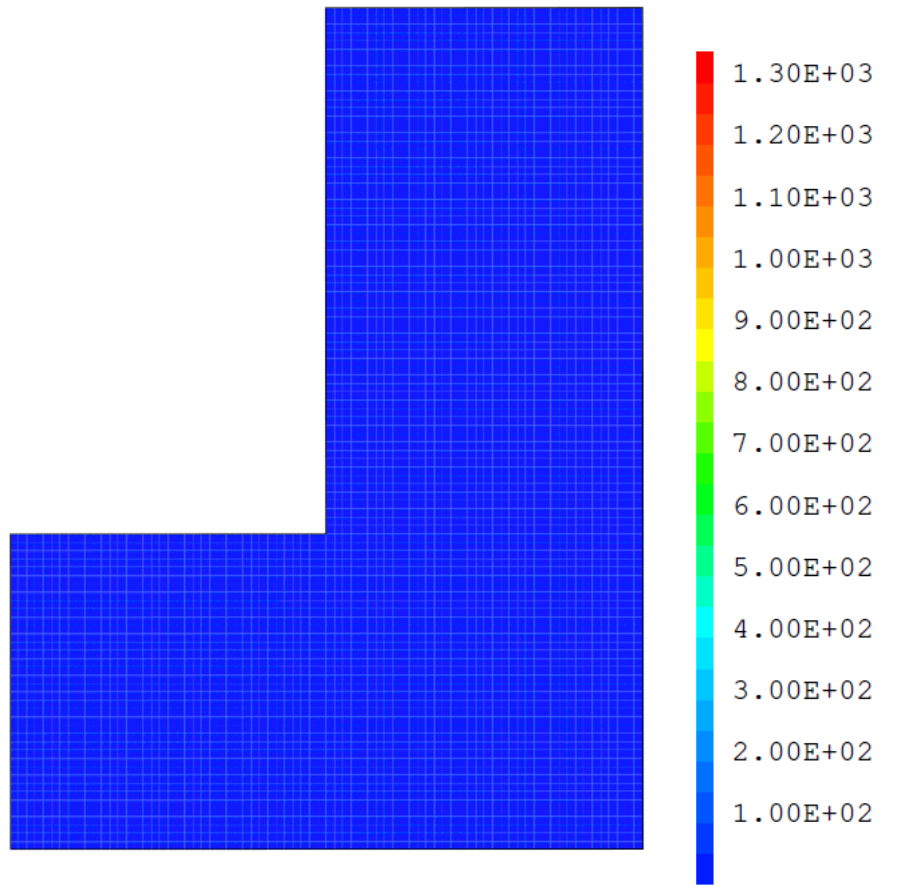
U





3. Résultats

Température et ouverture de fissure



Bilan énergétique

Vérifier la conservation de l'énergie :

$$R_1 = \frac{E_{apportee\ par\ le\ corium} - (E_{elements\ suprimes} + E_{interne} + E_{perdue\ aux\ CL})}{E_{apportee\ par\ le\ corium}} = 0,9\%$$

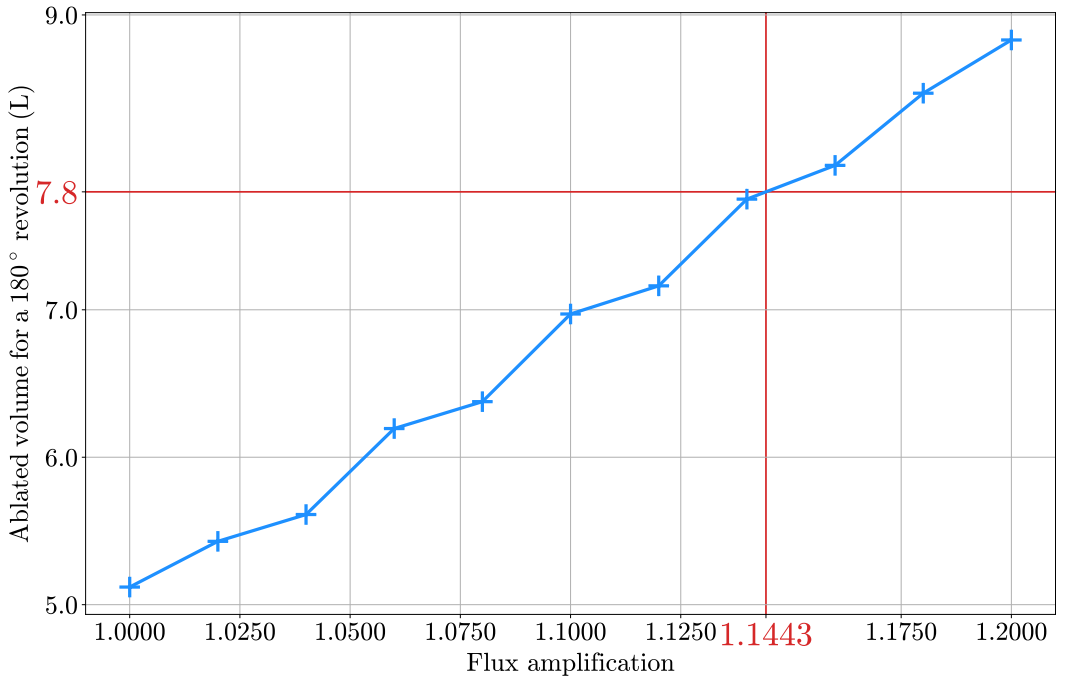
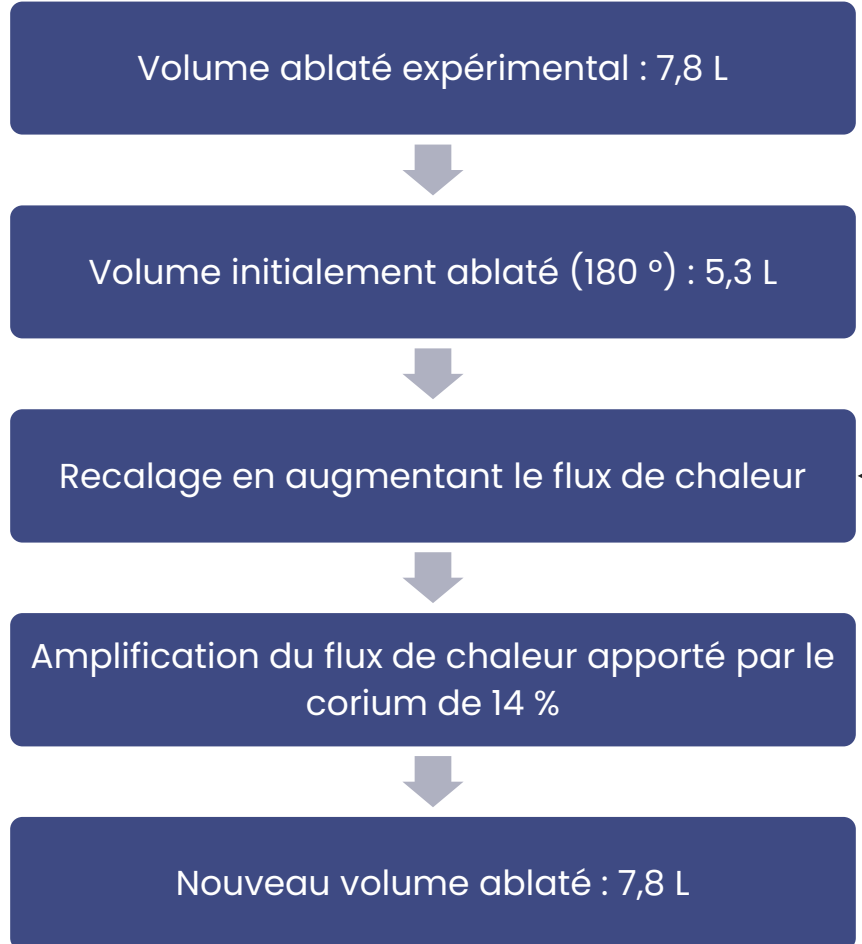
$$R_2 = \frac{E_{elements\ suprimes} - E_{ablater\ les\ elements\ suprimes}}{E_{ablater\ les\ elements\ suprimes}} = 0,9\%$$



4. Comparaison avec l'expérience

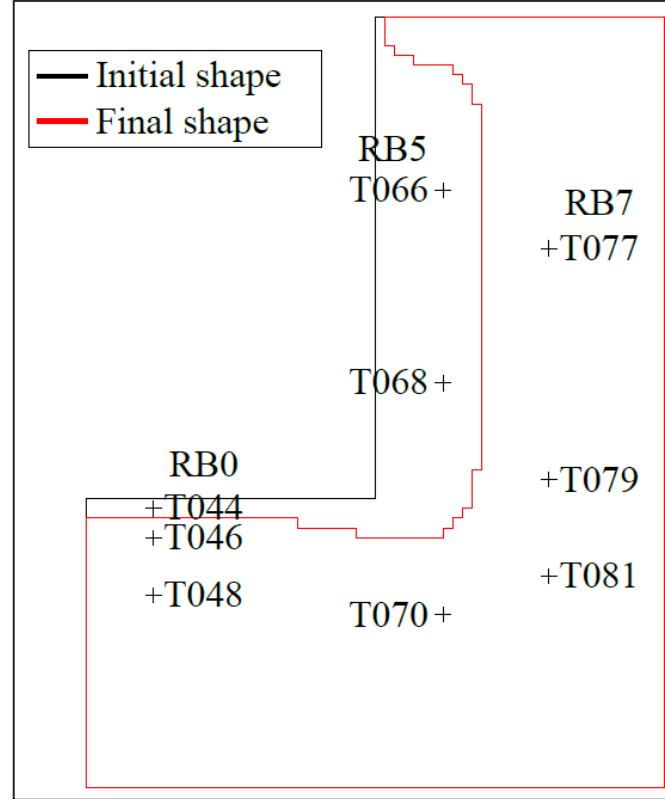


Volume ablaté

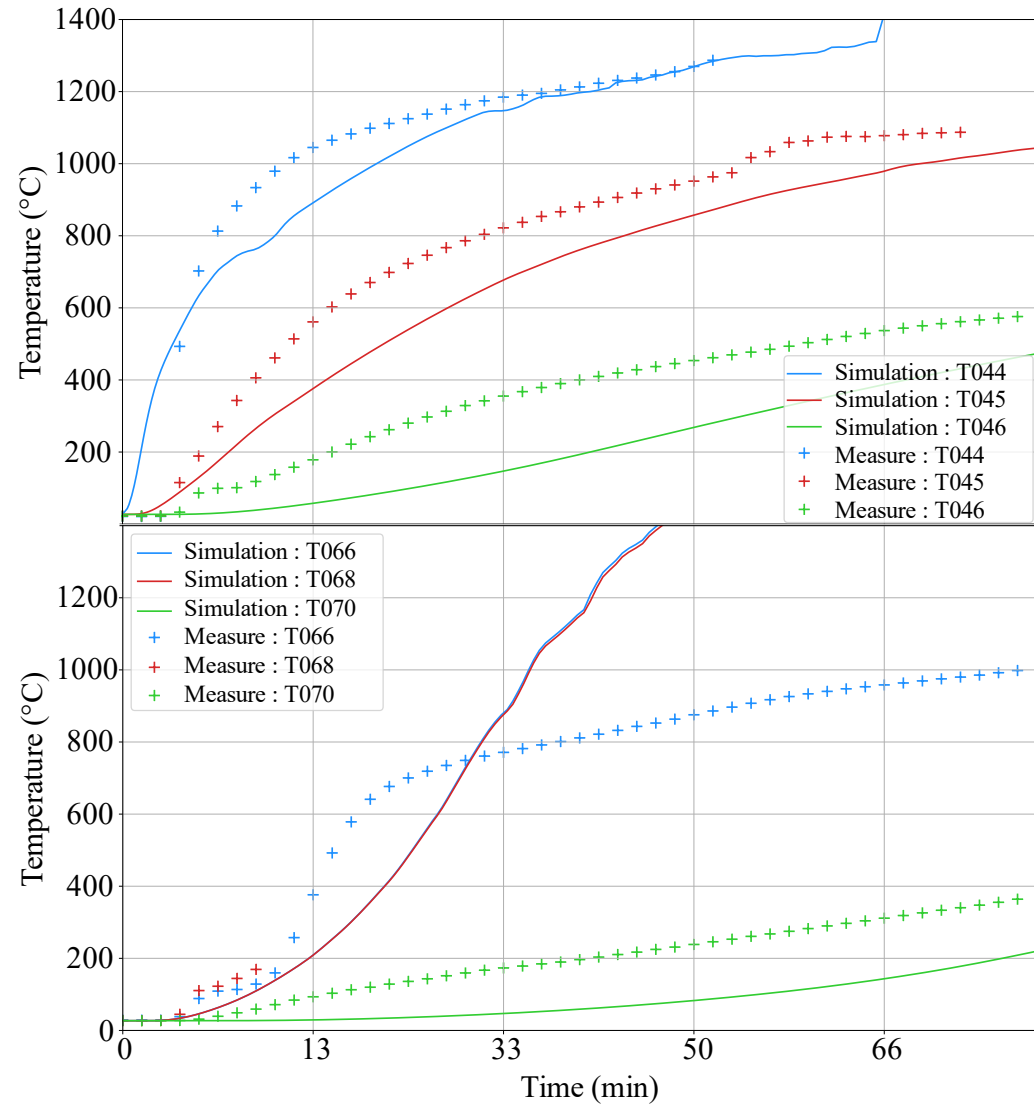


Volume ablaté calculé pour différentes amplifications du chargement

Comparaison avec les températures mesurées



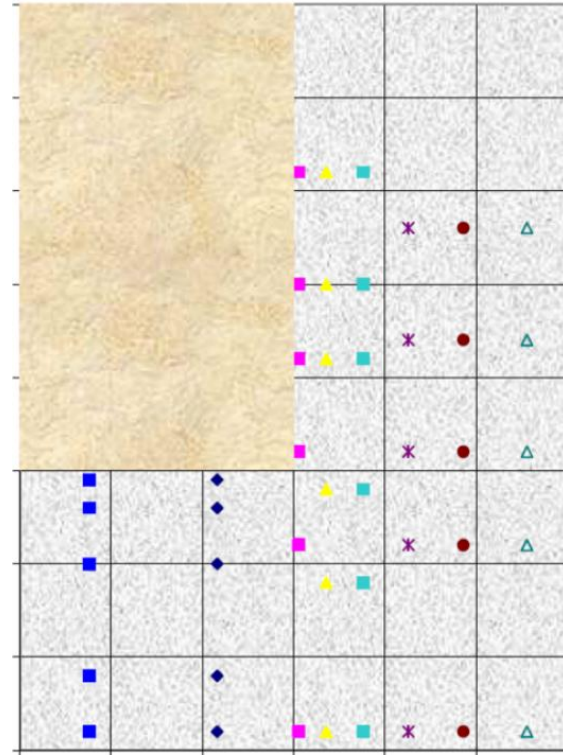
Positions des thermocouples



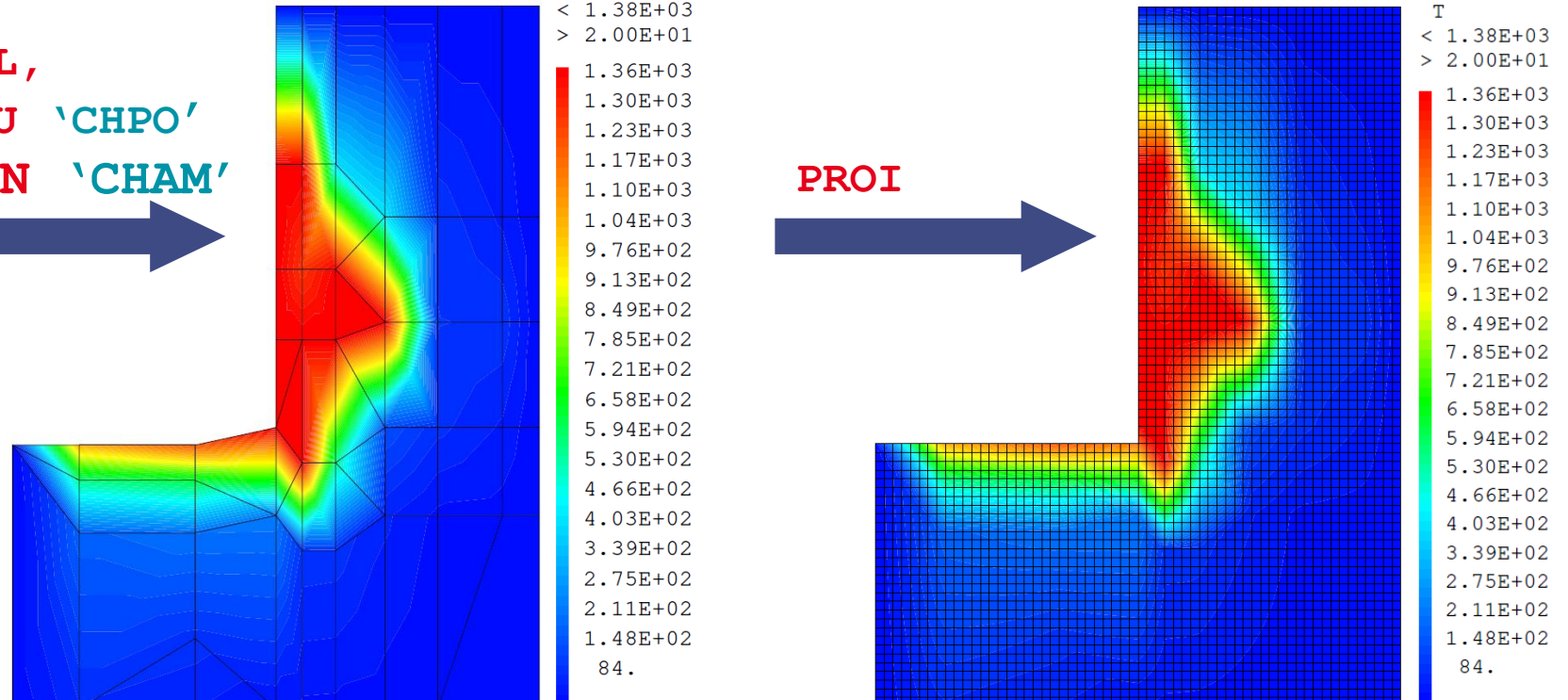
RB0

RB5

Utilisation des températures mesurées comme données d'entrées du calcul mécanique

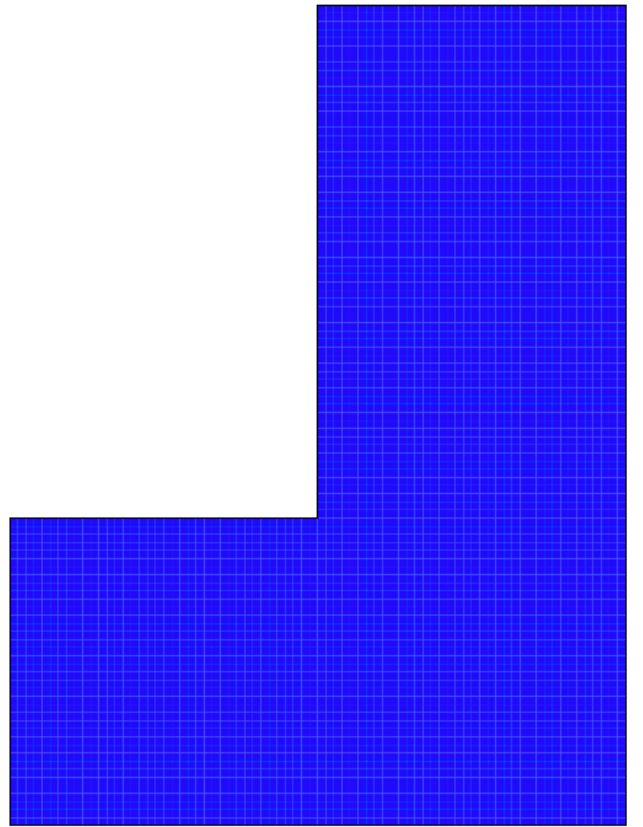


**IPOL ,
MANU 'CHPO'
CHAN 'CHAM'**



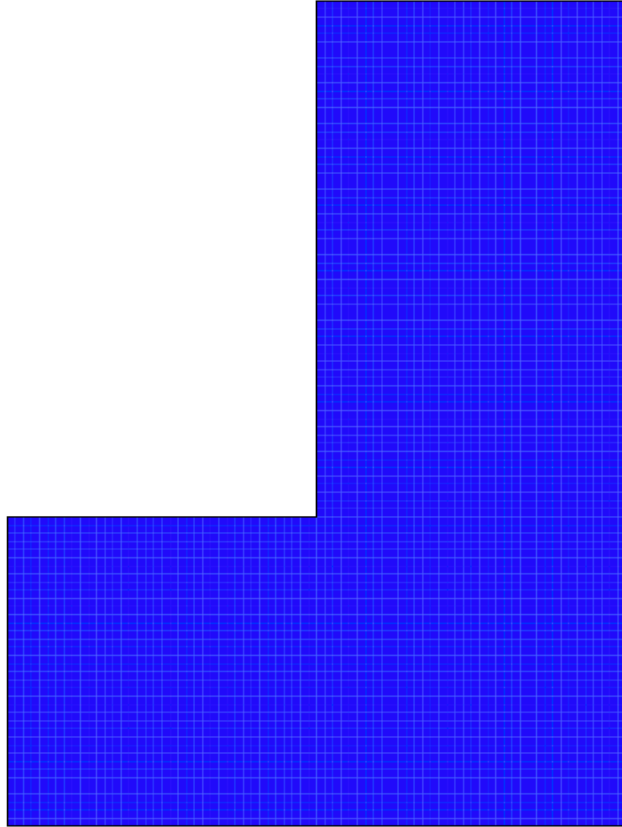
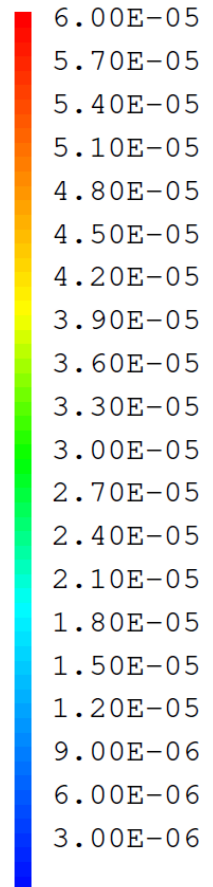
Positions des thermocouples

Comparaison de l'ouverture de fissure obtenue avec la température simulée ou mesurée



$\text{at} = 0.00000\text{E}+00$

Avec la température calculée



$\text{at} = 0.00000\text{E}+00$

Avec la température mesurée



5

Conclusions et perspectives

Conclusions et perspectives

- Conclusions
 - Développement d'une méthode mettant en évidence des macro-fissures dans le cadre de l'ICB
 - Faisabilité de la simulation avec Cast3M
 - Développement d'un critère d'érosion énergétique
 - Limitation de la dépendance au maillage
 - Bilan énergétique respecté
- Perspectives
 - Thermique :
 - Flux non uniforme
 - Changements de phase
 - Mécanique :
 - Modèle plus représentatif
 - Optimisation pour un calcul 3D
 - Armatures en acier
 - Multiphysique :
 - Couplage mécanique ↔ thermique
 - Couplage avec code CFD



Merci

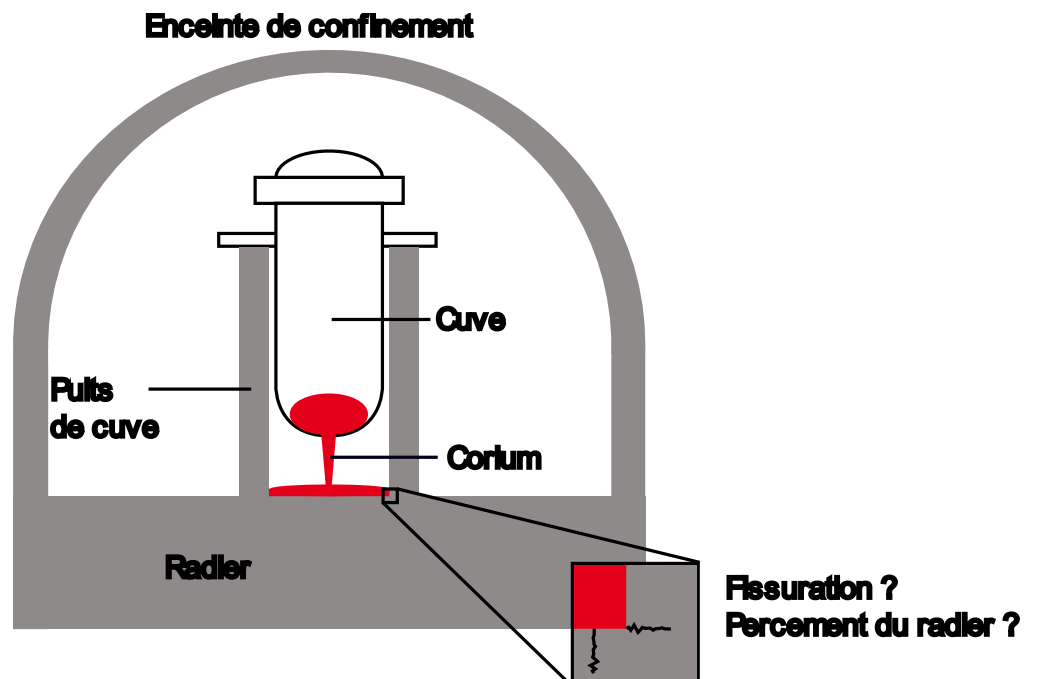
CEA SACLAY

91191 Gif-sur-Yvette Cedex

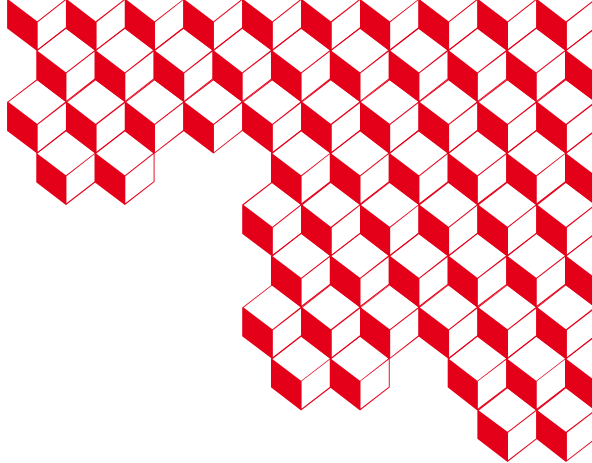
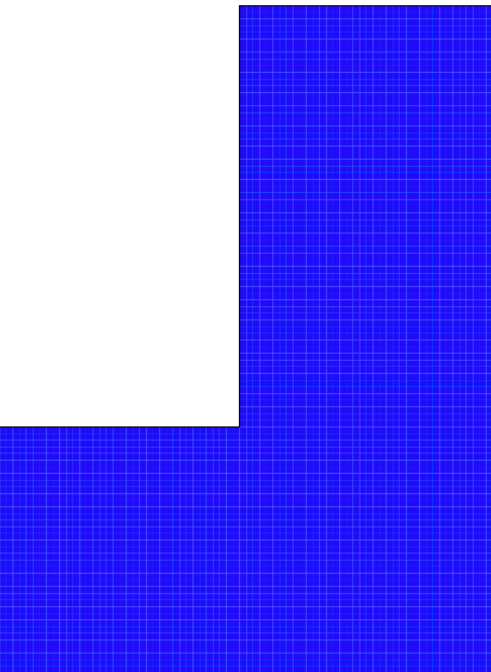
France

Clement.pionneau@cea.fr

Standard. + 33 1 69 08 60 00



t = 0.00000E+00





6 ■ Annexes

Ouverture de fissure

■ Ouverture de fissure :

- $\underline{u} = \underline{u}_e + \underline{u}_{ouv}$
- $\underline{\underline{\varepsilon}} = \underline{\underline{\varepsilon}}_e + \underline{\underline{\varepsilon}}_{ouv}$
- Mazars : $\underline{\underline{\varepsilon}}_{ouv} = d(\underline{\underline{\varepsilon}} - \underline{\underline{\varepsilon}}_{th})$
- Ouverture dans la direction \underline{n} :

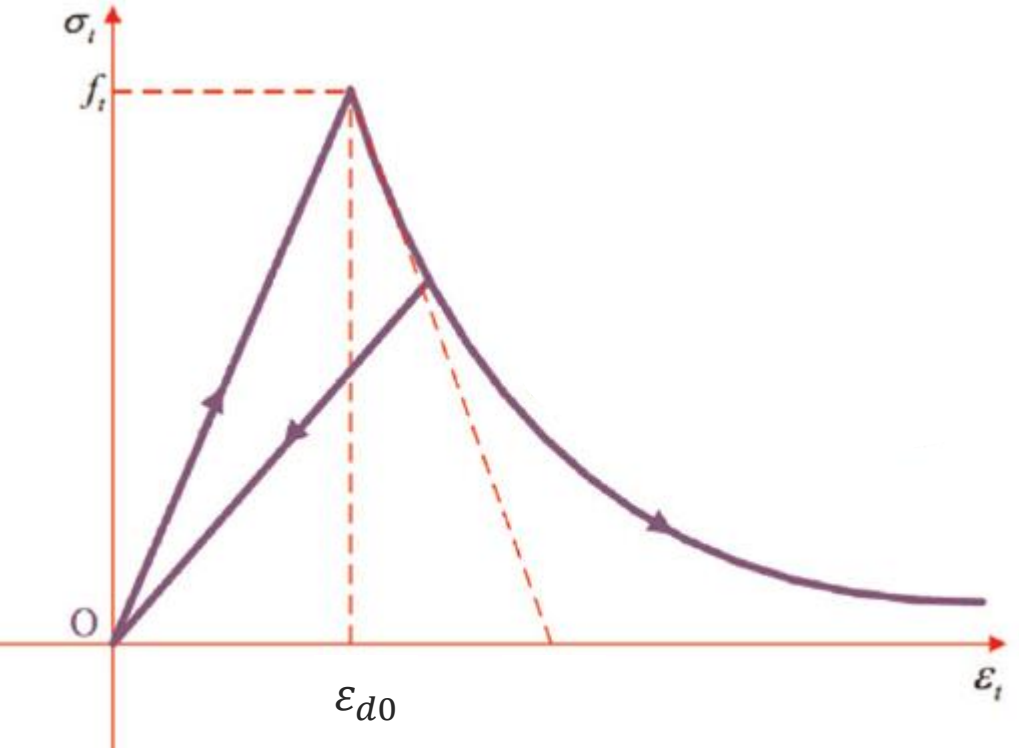
$$\delta_n = \frac{1}{A} \int_{\text{élément}} \underline{n} \cdot \underline{\underline{\varepsilon}}_{ouv} \cdot \underline{n} \, dV$$

Le modèle de Mazars

- Modèle de Mazars régularisé en traction :
 - $\underline{\sigma} = (1 - d)\mathbf{C} : \underline{\varepsilon}$, $d \in [0, 1]$
 - $d = \alpha_t^\beta d_t(\varepsilon_{eq}) + \alpha_c^\beta d_c(\varepsilon_{eq})$

$$\varepsilon_{eq} = \sqrt{\langle \varepsilon_1 \rangle_+^2 + \langle \varepsilon_2 \rangle_+^2 + \langle \varepsilon_3 \rangle_+^2}$$
 - $d \nearrow$ si $\varepsilon_{eq} > \kappa(d)$

$$\kappa(0) = \varepsilon_{d0} = f_t/E$$
 - $d_c = 1 - \frac{\varepsilon_{d0}}{\varepsilon_{eq}}(1 - A_c) - A_c \exp(-B_c(\varepsilon_{eq} - \varepsilon_{d0}))$
 - $d_t = \begin{cases} 1 - \frac{\varepsilon_{d0}}{\varepsilon_{eq}}(1 - A_t) - A_t \exp(-B_t(\varepsilon_{eq} - \varepsilon_{d0})) & \text{sans régularisation} \\ 1 - \frac{\varepsilon_{d0}}{\varepsilon_{eq}} \exp(-B_t(\varepsilon_{eq} - \varepsilon_{d0})) & \text{avec régularisation} \end{cases}$
 - $\alpha_t = \frac{1}{\varepsilon_{eq}^2} \varepsilon_{ti} \langle \varepsilon_i \rangle_+$
 - $\varepsilon_{ti} = \frac{1+\nu}{E} \langle \bar{\sigma}_i \rangle_+ - \frac{\nu}{E} \sum_{j=1}^3 \langle \bar{\sigma}_j \rangle_+$



Essai de traction uniaxiale

Source : [An effective model for analysis of reinforced concrete members and structures under blast loading](#)

Régularisation en traction

- Objectif : rendre constante l'énergie dissipée par la fissuration
 - Lois de la thermodynamique en quasi statique pour un système fermé isotherme :

$$\dot{U} = P_{ext} + P_{cal} \text{ et } \dot{S} = \frac{P_{cal}}{T} + P_s$$

$$TP_s = P_{ext} - (\dot{U} - T\dot{S}) = P_{ext} - \dot{\Psi}$$

- Energie dissipée si les appuis sont parfaits :

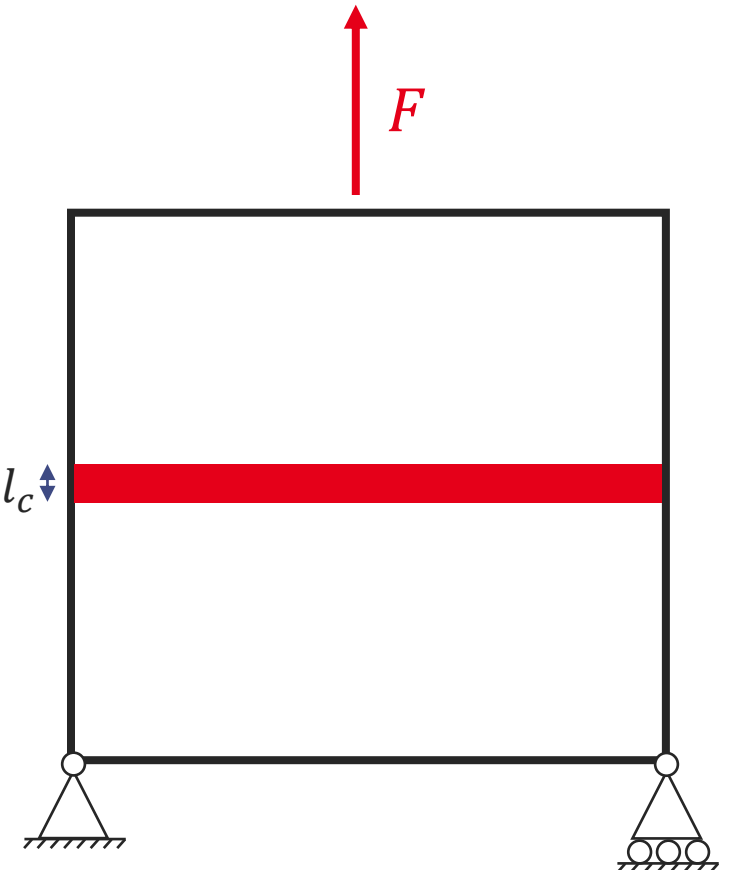
$$E_d = TP_s = \int_0^{\infty} F(u)du - 0$$

- Localisation de l'endommagement dans une bande d'élément :

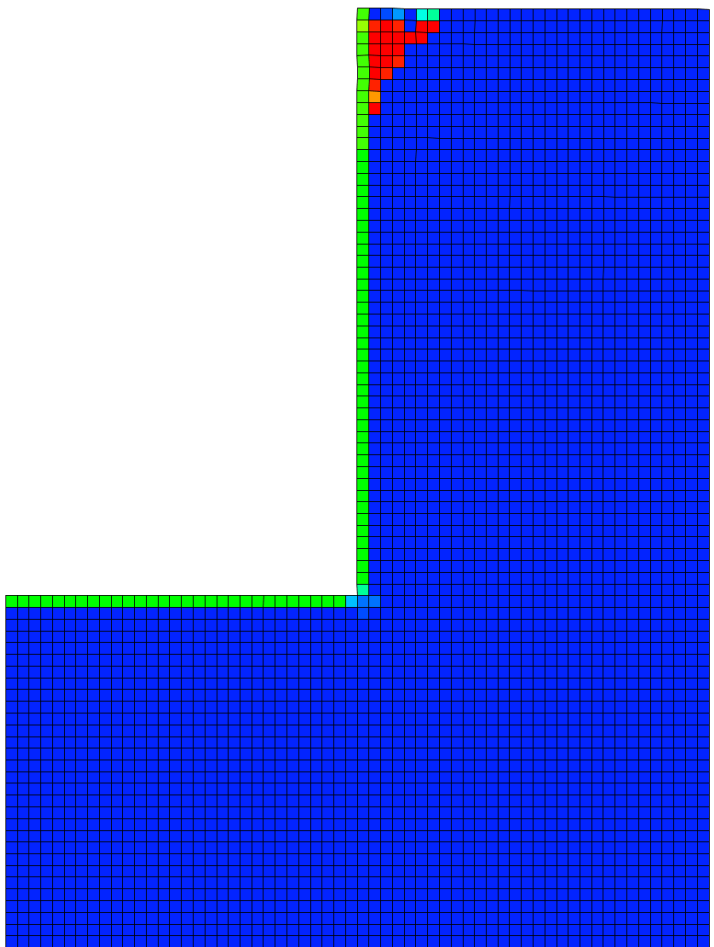
$$E_d = l_c \cdot S \int_0^{\infty} \sigma(\varepsilon)d\varepsilon$$

- Condition : énergie dissipée indépendante de l_c et égale à $G_{ft}S$ (G_{ft} : taux de relaxation de l'énergie) :

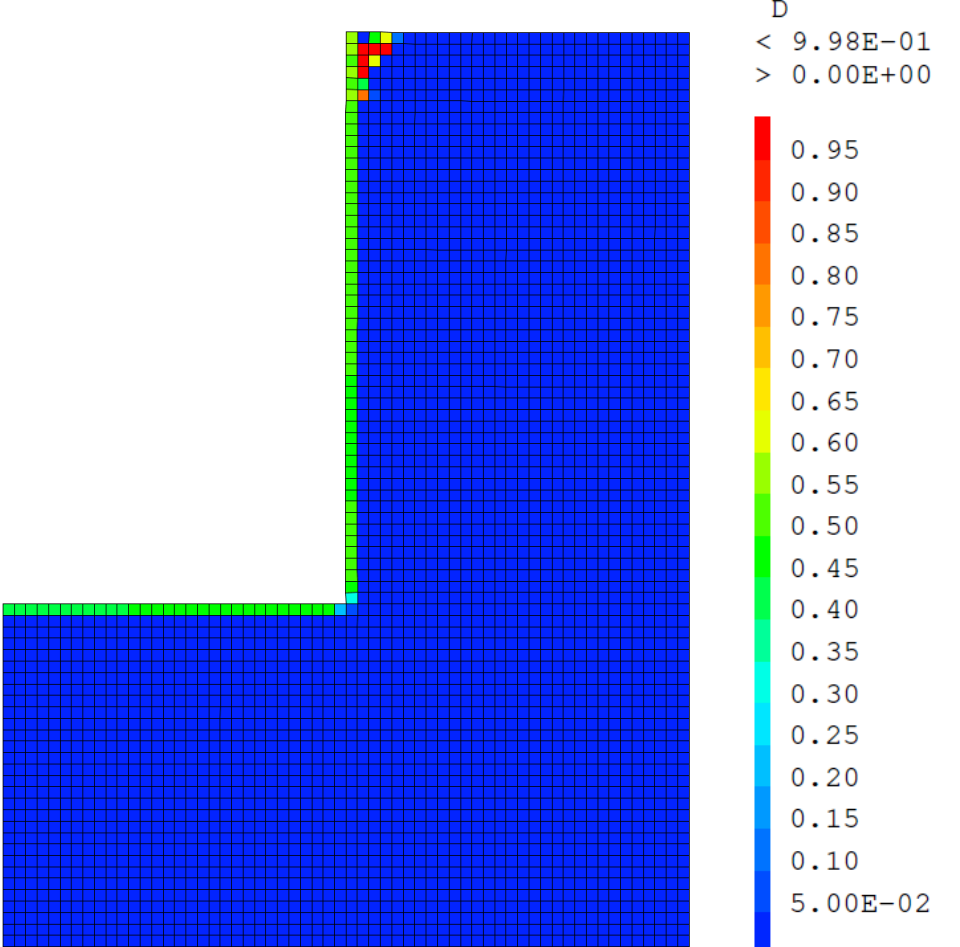
$$E_d = G_{ft}S \Rightarrow B_t = \frac{f_t l_c}{G_{ft} - \frac{1}{2} E \varepsilon_{d0}^2 l_c}$$



Régularisation en traction



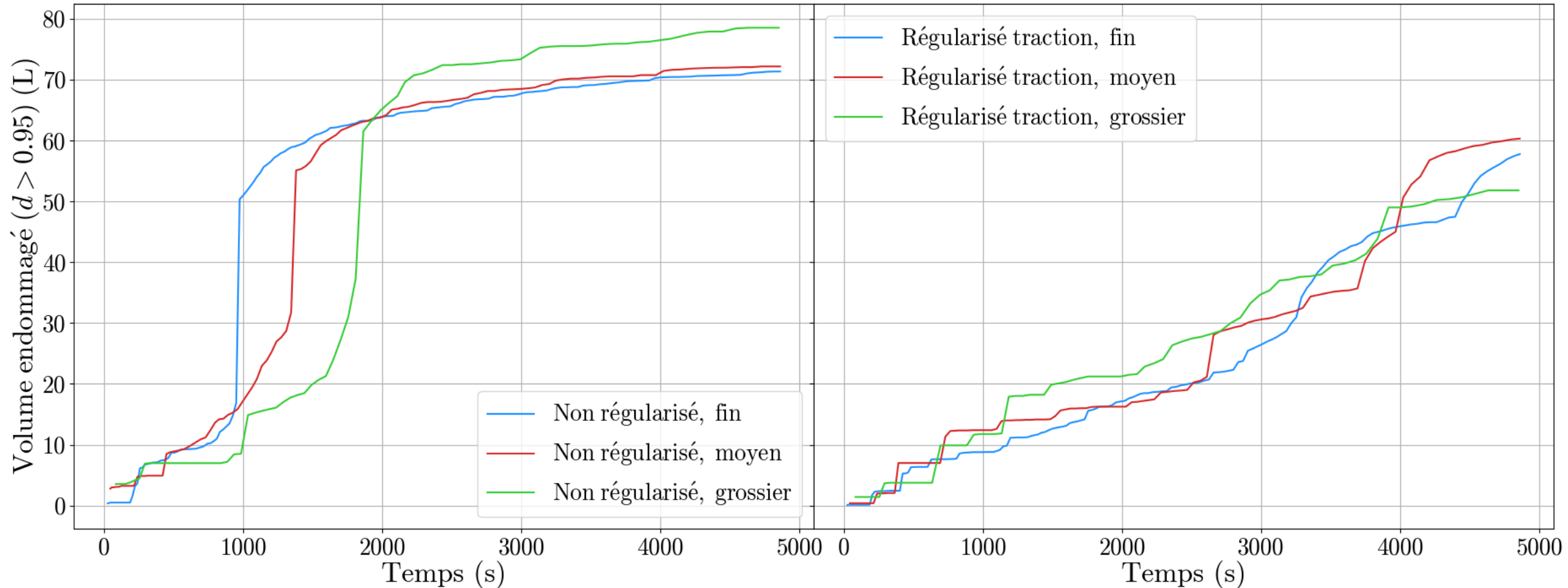
Sans régularisation



Avec régularisation

Régularisation en traction

Volume des éléments endommagés



Reconstruction du champs de température à partir des mesures

Mesures pour chaque capteur : `EVOL 'MANU' liste_temps liste_temperatures_capteur_i ;`

Conversion maillage en liste de points : `CHAN 'POI1' maillage ;`

Création d'une liste contenant le température au temps t associée à chaque point : `PROG, INSE, IPOL`

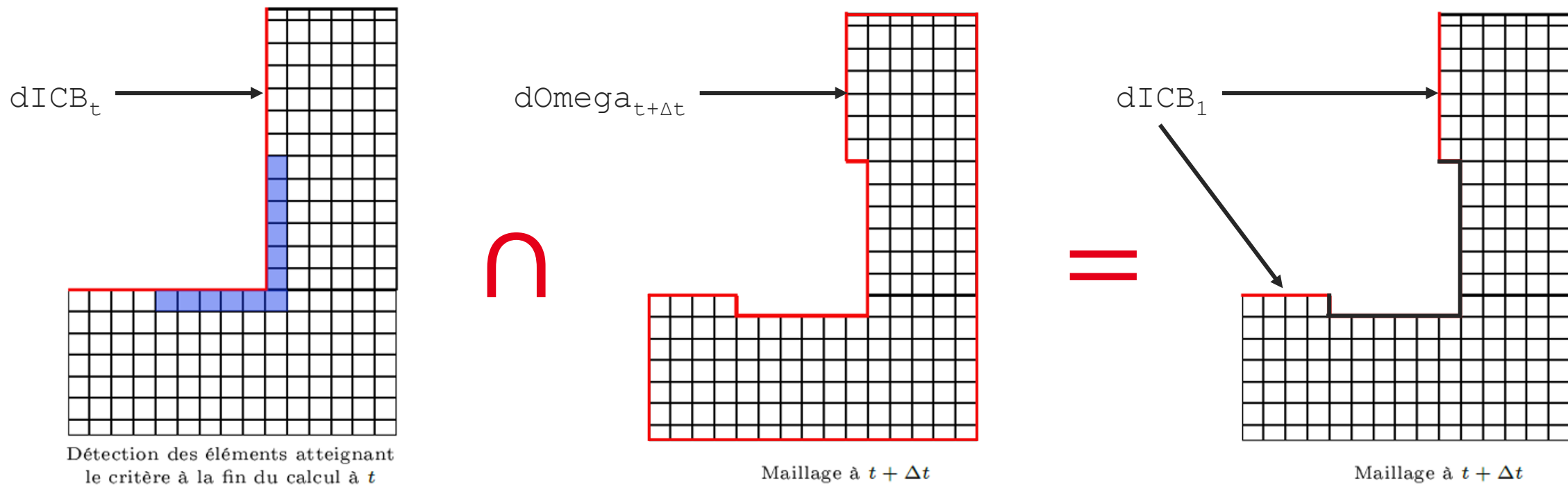
Création du champ par point : `MANU 'CHPO' liste_points liste_temperatures_t ;`

Conversion en champ par éléments : `CHAN 'CHAM' ... ;`

Projection de ce champ sur le maillage mécanique : `PROI`

Mise à jour des conditions limites → REEV_THE

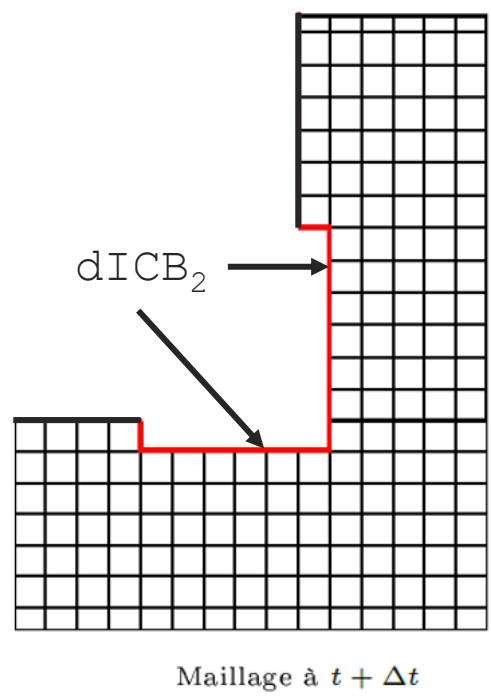
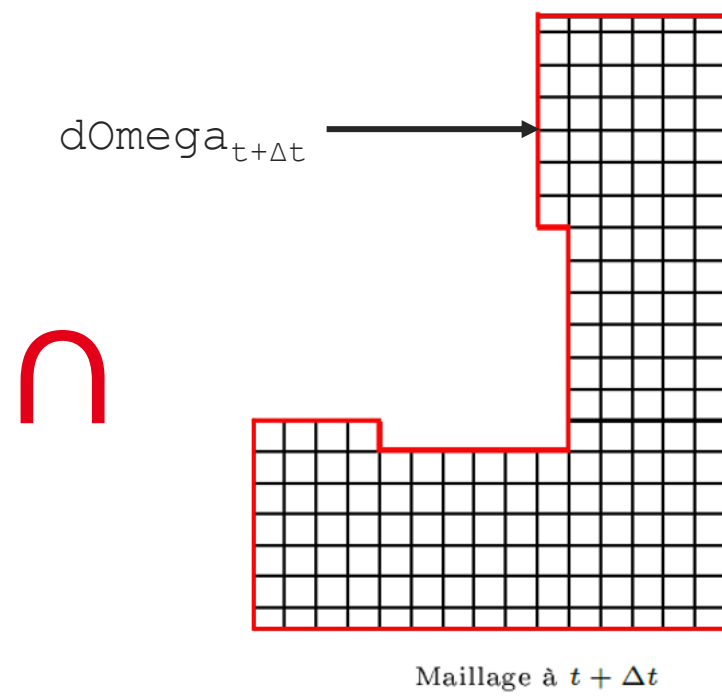
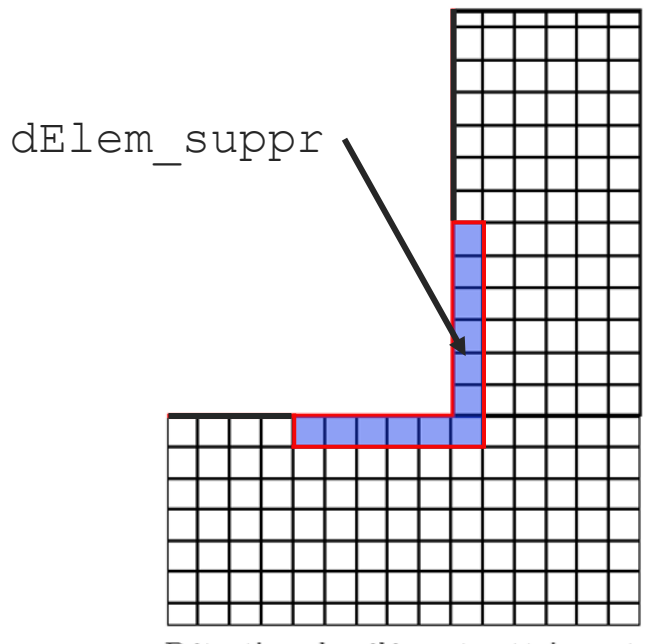
$dICB_1 = dICB_t \text{ INTE } d\Omega_{t+\Delta t};$



Mise à jour des conditions limites → REEV_THE

`dICB1 = dICBt INTE dOmegat+Δt;`

`dICB2 = dElem_suppr INTE dOmegat+Δt;`

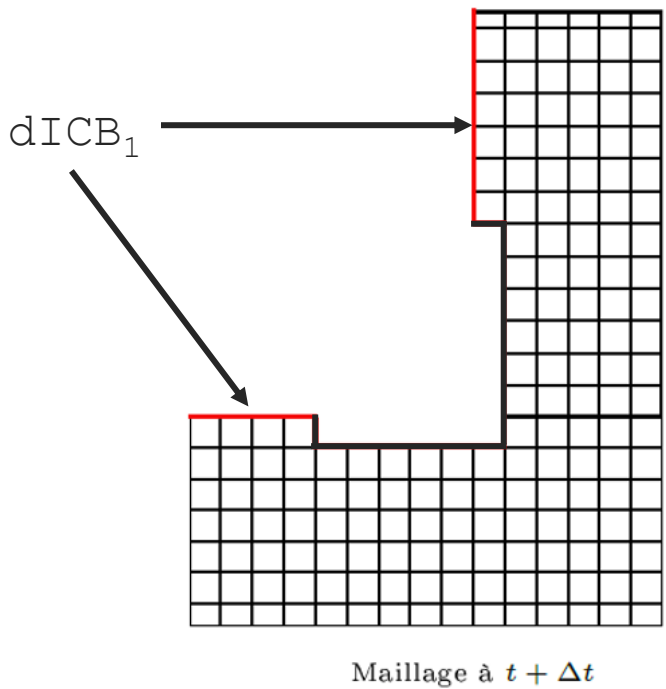


Mise à jour des conditions limites → REEV_THE

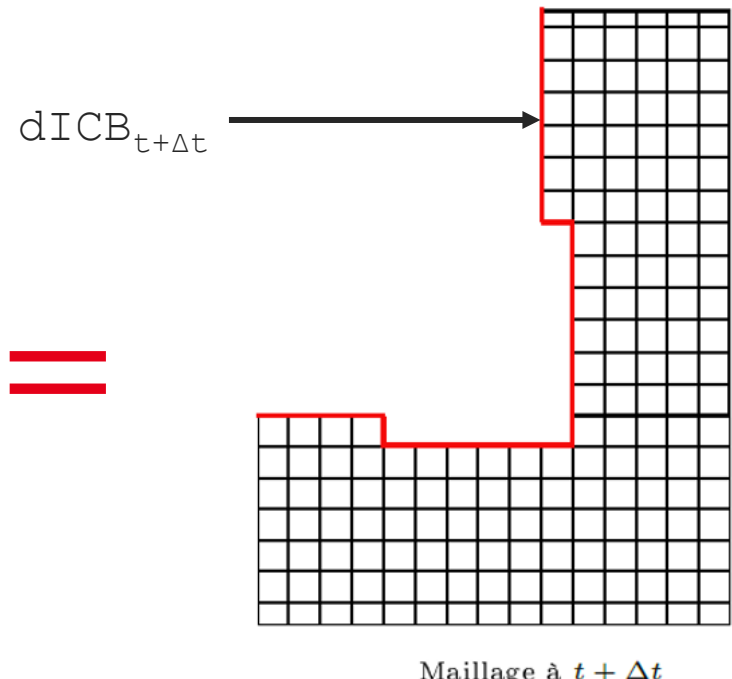
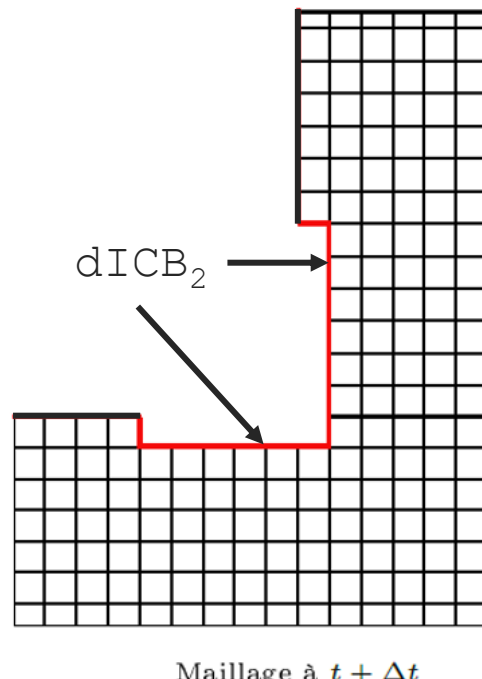
$dICB1 = dICB_t \text{ INTE } d\Omega_{t+\Delta t};$

$dICB2 = d\text{Elem_suppr} \text{ INTE } d\Omega_{t+\Delta t};$

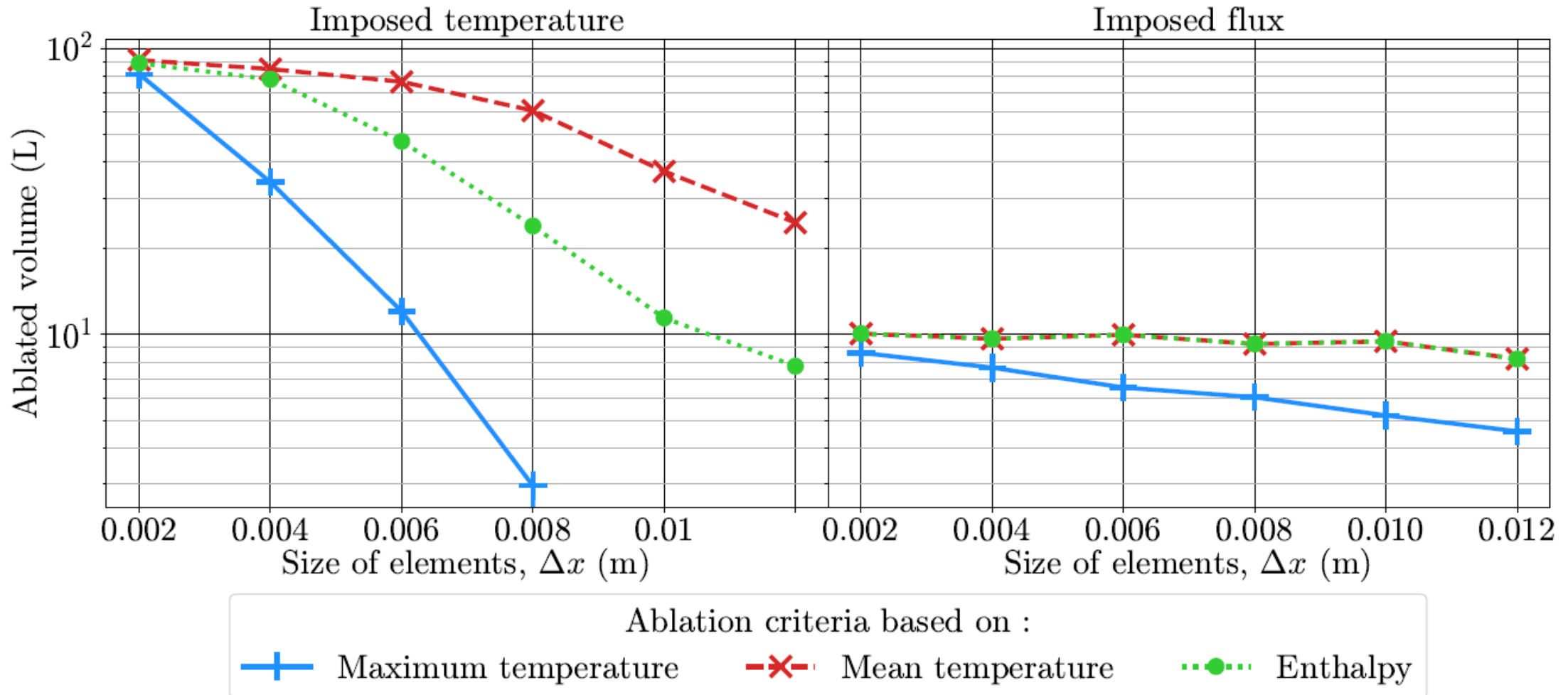
$dICB_{t+\Delta t} = dICB1 \text{ ET } dICB2;$



U



Dépendance au maillage





Effet du pas de temps

